

ISSN 1563-0234
Индекс 75868; 25868

ӘЛ-ФАРАБИ атындағы ҚАЗАҚ ҰЛТТЫҚ УНИВЕРСИТЕТІ
КАЗАХСКИЙ НАЦИОНАЛЬНЫЙ УНИВЕРСИТЕТ имени АЛЬ-ФАРАБИ

ХАБАРШЫ ВЕСТНИК

ГЕОГРАФИЯ
СЕРИЯСЫ

СЕРИЯ
ГЕОГРАФИЧЕСКАЯ

АЛМАТАЫ

№2 (31)

2010



**КазҰУ
ХАБАРШЫСЫ**
ГЕОГРАФИЯ СЕРИЯСЫ

**ВЕСТНИК
КазНУ**
СЕРИЯ ГЕОГРАФИЧЕСКАЯ

АЛМАТА

№ 2 (31)

2010

Зарегистрирован в Министерстве культуры, информации и
общественного согласия Республики Казахстан, свидетельство № 956-Ж от 25.11.1999 г.
Журнал основан в 1994 г. С 1997 г. выходил 2 раза в год

Редакционная коллегия:

ППМ Назыров (высочайший редактор) В.Г. Салтыкова (бывший научный редактор), С.Е. Потапова (бывшая сотрудница),
С.С. Башталысова, Р.Т. Бекзатова, Е.Н. Валисов, Р.Н. Гальперин, Ж.Д. Достай, С.Р. Еразымов,
К.А. Ишакова, Н.Н. Каримбай, А.Р. Масу, М.М. Молдабеков, Г.Н. Ниссупова, А.В. Чигирин

СОДЕРЖАНИЕ

ФИЗИЧЕСКАЯ, ЭКОНОМИЧЕСКАЯ И СОЦИАЛЬНАЯ ГЕОГРАФИЯ

Соколов В.А., Салимова Е.А., Ушаров Б.Н., Кимбирович А.	ОЦЕНКА ЭКОЛОГИЧЕСКИХ РИСКОВ ПРИ ОСВОЕНИИ НЕФТЕГАЗОВЫХ МЕСТОРОЖДЕНИЙ КАЗАХСТАНСКОГО СЕКТОРА КАСПИЙСКОГО МОРЯ	3
Кишишев М., Денисов С.М.	КАЗАХСТАН ОРТАЛЫҚ АЙН АЙМАЛЫҚ ПРОЕКТ БОЛШОЙ ЦЕНТР	11
Каратаев М.А.	ЭКОЛОГО-ЭКОНОМИЧЕСКИЕ АСПЕКТЫ И ПРОСТРАНСТВЕННО-ЮРДАЦИОННОГО РАСПРЕДЕЛЕНИЯ ГУДНО АЛТАЙСКОЙ ПРИРОДНО-ХОЗЯЙСТВЕННОЙ СИСТЕМЫ	18
Zayed Mohamed A.M.	BENEFICIATION STUDIES OF THE QUARTZ DEPOSITS OF WADI MUBARAE AREA IN THE EASTERN DESERT OF EGYPT FOR IDENTIFYING THE POSSIBILITY OF PRODUCTION OF HIGH PURITY QUARTZ CONCENTRATE	36
Zayed Mohamed A.M.	PROSPECTS OF USING THE QUARTZ DEPOSITS OF MARWAT ALMIDAN AREA, EASTERN DESERT, EGYPT IN KITTEL INDUSTRIES	39
Лавиков С.В.	ДВООСТЕПЕННОЕ ПРИМЕНение: ФОРМИРОВАНИЕ И НАКОПЛЕНИЕ ГЕОГРАФИЧЕСКИХ ЗНАНИЙ В УЧУЩИХ - НАЧАЛЕ ХХI в.	45
Ильинская Э.Ж.	ГЕОДЕМОГРАФИЧЕСКОЕ ПРОСТРАНСТВЕННОЕ РАЗВИТИЕ ЗАПАДНО-КАЗАХСАНСКОЙ ОБЛАСТИ	48
Джубанова О.А.	ИСТОРИЧЕСКО-ГЕОГРАФИЧЕСКИЕ АСПЕКТЫ РАССЕТЕНИЯ НАСЕЛЕНИЯ В БАССЕЙНЕ РЕК УРАЛ В ПРЕДЕЛАХ ЗАПАДНО-КАЗАХСАНСКОЙ ОБЛАСТИ	49
ГИДРОЛОГИЯ И МЕТЕОРОЛОГИЯ		
Сарсенбаев М.Х., Мусев К.М.	ОСНОВЫ АДАПТИВНОГО СПОСОБСТВИЯ СТАБИЛИЗАЦИИ ПРИРОДООБРАЗОВАНИЯ	57
Сатыбалдиев Е.Г., Түрдукова Г.К., Позаков С.Е.	АТМОСФЕРНАЯ ТИПОЛЮГИЯ И СПЕЦИФИЧНОСТЬ РАСПРЕДЕЛЕНИЯ АНОМАЛИЙ ТЕМПЕРАТУРЫ И ОСАДКОВ В КАЗАХСТАНЕ	60

<i>Молдасметов М.М., Массимова Л.К.</i>	
БАҚЫЛАУ ДЕРЕКТЕРИ ЖОК БОЛГАН ЖАГДАЙДА ҚАЗАҚСТАН РЕСПУБЛИКАСЫ АУМАҒЫНДА	76
ТОБЫЛ ӨЗЕНІ АЛАБЫНЫҢ ҚАЛЫПТЫ ЖЫЦЫҚ АҒЫНДЫСЫН БАҒАЛАУ	
<i>Жанабаева Ж.Ж., Дускаев К.К., Мұрзакметов А.Б.</i>	
ШЕ ӨЗЕНІН ТАСЫНЦЫЛАР АҒЫНДЫСЫ РЕЖИМІНІҢ ЕРКІШЕЛІКТЕРІ МЕН КАПШАГАЙ СУ	80
ҚОЙМАСЫНЫң ҚАЗАҢШҰНҚЫРЫНДА ТҮНАТАЫН ТАСЫНДЫЛАРДЫҢ КӨЛЕМІН БАҒАЛАУ	
<i>Шалабаева Г.С.</i>	
СЫРДАРИЯ ӨЗЕНІ АЛАБЫНДАҒЫ ЕЛДІ МЕКЕНДЕРДІ СУМЕН ҚАМТУ	84
<i>Богалиболова Е.В., Усманова З.С.</i>	
СРАВНИТЕЛЬНЫЙ АНАЛИЗ МЕСЯЧНЫХ СУММ ОСАДКОВ НА ЗАПАДЕ И ВОСТОКЕ КАЗАХСТАНА В	88
ХОЛОДНОЕ ВРЕМЯ ГОДА	
<i>Полякова С.Е., Козутенко Л.В.</i>	
ОСОБЕННОСТИ РАСПРЕДЕЛЕНИЯ ВЫСОКИХ ТЕМПЕРАТУР ВОЗДУХА В СЕВЕРНОЙ ПОЛОВИНЕ	96
КАЗАХСТАНА	
<i>Токтагенов З.Р.</i>	
ИССЛЕДОВАНИЕ ХАРАКТЕРИСТИК ОБЛАЧНОСТИ В РАЙОНЕ ПАВЛОДАРА В ВВСЕННИЙ ПЕРИОД	101
<i>Науразбаева Ж.К.</i>	
КЛИМАТИЧЕСКИЕ ОСОБЕННОСТИ РАСПРЕДЕЛЕНИЯ ОСАДКОВ НА ТЕРРИТОРИИ ЮЖНОГО И	108
ЮГО-ВОСТОЧНОГО КАЗАХСТАНА В ТЕПЛЫЙ ПЕРИОД	
ГЕОЭКОЛОГИЯ	
<i>Таганов Е.А.</i>	
СТРАТЕГИЧЕСКИЙ ВЕРОЯТНОСТНЫЙ ПРОГНОЗ ЭКОЛОГО-ЭКОНОМИЧЕСКОГО РАЗВИТИЯ КАЗАХСТАНА	114
<i>Толебаева А.К.</i>	
КАЗАХСТАНЫҢ ОРМАН ШАРУАШЫЛЫГЫНЫң ЭКОЛОГИЯЛЫҚ МӘСЕЛЕЛЕРИ	119
<i>Мухамадиева А.Р.</i>	
АЛАҚӨЛ ҚОРЫҒЫНДАҒЫ ӨСІМДІКТЕРДІҢ МЕЗГІЛДІК ДАМУЫН МОНІТОРИНГТІК БАҚЫЛАУ	123
РЕКРЕАЦИОННАЯ ГЕОГРАФИЯ И ТУРИЗМ	
<i>Уварова А.К.</i>	
КЛАССИФИКАЦИИ ТУРИСТСКИХ КАРТ	127
ХРОНИКА	
<i>Северский И.В., Благовещенский В.П., Виноградов В.В., Киренская Т.Л.</i>	
ПРОБЛЕМЫ ИССЛЕДОВАНИЯ СЕЛЕЙ КАЗАХСТАНА	135
<i>Веселова Л.К., Шмарова И.Н.</i>	
ТЕМАТИЧЕСКОЕ КАРТОГРАФИРОВАНИЕ	143
ГЕОМОРФОЛОГИЧЕСКИЕ ПРОЦЕССЫ И ИХ ПРИКЛАДНЫЕ АСПЕКТЫ	146

Республика Казахстан, 050040, г. Алматы, пр. аль-Фарраби, 71
 ГУК-б, географический факультет,
 Тел. (727) 3773335 (12-22), (12-25).
 e-mail: Svetlana.Polyakova@kaznu.kz

С.Е. Полякова, Л.В. Когутенко

ОСОБЕННОСТИ РАСПРЕДЕЛЕНИЯ ВЫСОКИХ ТЕМПЕРАТУР ВОЗДУХА В СЕВЕРНОЙ ПОЛОВИНЕ КАЗАХСТАНА

Казахский Национальный университет им. аль-Фараби, г. Алматы

Проведен пространственно-временной анализ высоких температур воздуха летом в северной половине Казахстана. Выявлены некоторые статистические характеристики средней месечной и средней максимальной температур воздуха.

Высокие температуры воздуха оказывают влияние на ряд производственных процессов, а длительное сохранение их в сочетании с другими метеорологическими явлениями неблагоприятно для многих отраслей народного хозяйства. Информация о повторяемости и непрерывности высоких температур воздуха необходима сельскому хозяйству, Министерству чрезвычайных ситуаций, Министерству здравоохранения и др. В качестве критерия явления принимают различные величины. Для территории Казахстана единый критерий сильной жары применять нецелесообразно по причине больших различий в термическом режиме. Так, например, повторяемость температур выше 30°C на севере Казахстана незначительна, на юге же максимальные температуры воздуха, равные 25°C, встречаются летом почти ежедневно [1]. Абсолютные максимальные температуры воздуха по территории Казахстана распределяются следующим образом: в Северном Казахстане изменяются от 38°C до 42°C, в Центральном – от 37°C до 48°C, в Западном – от 39°C до 46°C, в Восточном – от 31°C (Заповедник Маркаколь) до 45°C, в Южном – от 45°C до 51°C (в песках Кызылкум) [2].

Выявление особенностей в распределении высоких температур воздуха именно на севере Казахстана можно считать более актуальным, т.к. этот регион страны относится к преимущественно аграрному сектору Республики. Для исследования использовались данные за период 1970–2008 гг. по 7 станциям относительно равномерно расположенным по территории Северного Казахстана (Астана, Атбасар, Жетыкара, Кокшетау, Костанай, Павлодар и Петропавловск).

Экстремальные температуры претерпевают резкие изменения и имеют скачкообразный характер. Наличие резких перепадов экстремальных температур может быть связано с климатически значимыми особенностями развития макропроцессов в определенное время года. Летом максимальная температура обладает наибольшей изменчивостью, которая обусловлена неравномерным солнечным нагревом подстилающей поверхности. Немаловажно, что увеличение ряда наблюдений не уничтожает отдельные характерные пульсации кривых температуры, которые в основном связаны с макросиноптическими процессами в атмосфере [3].

Практический интерес представляет анализ тенденций изменения температуры воздуха летом на севере Казахстана. Приведем результаты анализа временного хода средней месечной, средней максимальной и абсолютной максимальной температуры воздуха на примере июля.

Графики временного хода каждой станции аналогичны между собой (рис. 1), что свидетельствует об идентичности процессов, влияющих на температурный режим Северного Казахстана. Минимальные значения средней месечной температуры воздуха (16,7°C) наблюдались на станции Петропавловск в 1972 г., максимальные (25,3°C) – в Костанае в 1989 и 1998 гг. Распределение положительных и отрицательных аномалий средних месечных температур июля повторяет временной ход максимальной температуры воздуха.

Максимальные положительные аномалии отмечались в 1989 и 1998 гг. и достигали 5,1°C в Костанае. Наибольшие отрицательные аномалии выявлены в 1972 г. (-3,3°C) и 1994 г. (-3,1°C) в Астане и Жетыкаре? соответственно.

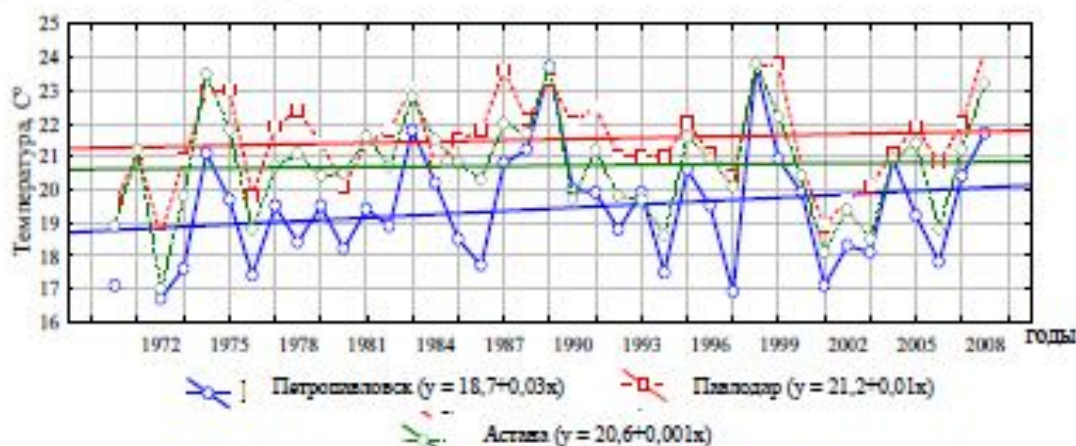


Рисунок 1. Временной ход средней месячной температуры воздуха в июле

Временной ход максимальной температуры июля (рис. 2) полностью согласуется с времененным ходом средней месячной температуры. Максимум значений также наблюдается в 1989 г. и составляет 31,9°C (Костанай), минимум в 1994 г. был отмечен в Петропавловске (21,9 °C). В те же годы отмечались максимальные положительные и отрицательные аномалии температуры воздуха – 5,2°C в Костанае и -5,3°C в Жетыкаре (норма составляет 26,7 и 27,3°C, соответственно). Наибольшие значения средней месячной и максимальной температуры в июле отмечались на станциях Павлодар, Костанай и Жетыкара.

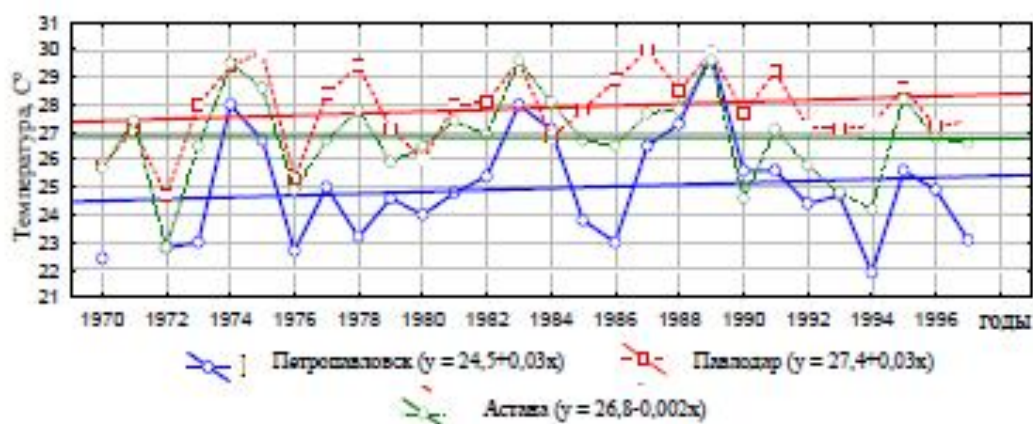


Рисунок 2. Временной ход средней максимальной температуры воздуха в июле

Временной ход средней из абсолютных максимумов температуры воздуха в июле (рис. 3) на станциях Петропавловска, Павлодара и Астаны повторяет временной ход максимальной температуры, но экстремальные значения приходятся на разные годы. Так, в Петропавловске максимальные значения средней из абсолютных максимумов температуры воздуха наблюдались в 1975 г. и составили 38,3°C, минимумы отмечались в 1976 и 1994 гг. (27,4°C); в Астане наибольшие величины приходились на 2005 г. (40,1°C), а наименьшие на 1993 г. (28,9°C); в Павлодаре значение средней из абсолютных максимумов температуры воздуха составила 41,1°C в 2008 г., что является наибольшим значением для всего Северного Казахстана за исследуемый период. Минимум средней из абсолютных максимумов температуры воздуха в июле для Павлодара наблюдался в 1993 г. (31,1°C). Абсолютный

максимум в Северном Казахстане достиг в июле 42°C за рассматриваемый период и отмечался на станциях Кокшетау, Атбасар, Жетыкара, Астана, Костанай в разные годы.

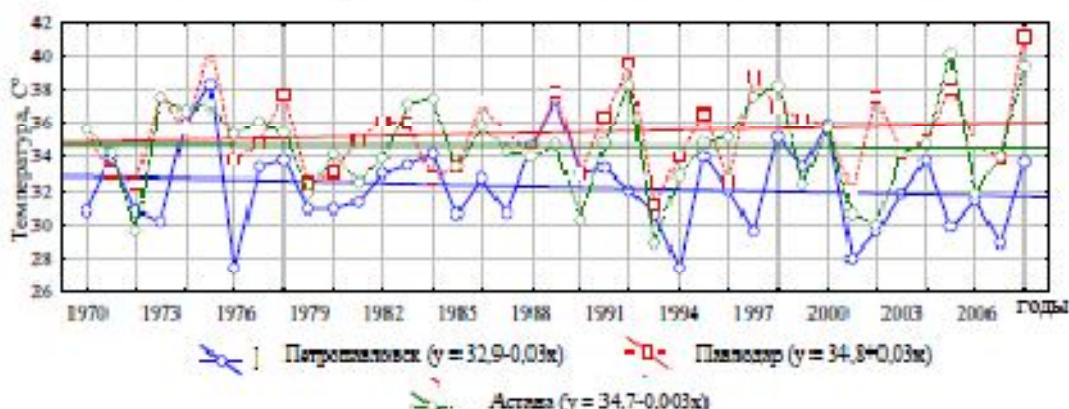


Рисунок 3. Временной ход средних из абсолютных максимумов температуры воздуха в июле

Статистическое описание тенденций развития осуществляется путем выявления оценки трендов во временных рядах. Для этого рассчитываются линейные тренды. Линейные тренды среднемесячной температуры воздуха летних месяцев за исследуемый период указывают на тенденцию увеличения её на большинстве станций Северного Казахстана. Лишь в июне отрицательные тренды отмечаются в Павлодаре, в июле – в Кокшетау и Жетыкаре, в августе отрицательные тенденции в ходе среднемесячной температуры не обнаружено, причем значения трендов на всех станциях больше, чем в июне и июле ($0,3\text{--}0,6^{\circ}\text{C}/10$ лет и $0,04\text{--}0,2^{\circ}\text{C}/10$ лет, соответственно) и они являются статистически достоверными на 5%-ом уровне значимости.

В временном ходе средней максимальной температуры наибольшие положительные значения тренда наблюдаются в июне ($0,38\text{--}1,01^{\circ}\text{C}/10$ лет), а наименьшие в июле и августе ($0,02\text{--}0,35^{\circ}\text{C}/10$ лет). Отрицательные тренды наблюдаются в Павлодаре в июне, в июле на всех станциях, кроме Павлодара и Петропавловска, а в августе на станциях Кокшетау, Жетыкара и Костанай. Тенденции изменения средних абсолютных максимумов температуры на севере Казахстана на всех станциях имеют положительные значения. Наибольшие значения наблюдаются также в июле и августе ($0,5\text{--}1,1^{\circ}\text{C}/10$ лет).

Опасность экстремально высоких температур воздуха может быть выражена в числе дней с температурой воздуха выше 30°C . В распределении числа дней с жаркой погодой, прежде всего, следует отметить зональность, а также влияние горных систем и крупных водоемов.

В распределении числа дней с жаркой погодой, по данным Платоновой А.Ф. и Тулиной Л.П. /1/, прежде всего, следует отметить определенную широтность, а также влияние горных систем и крупных водоемов. На станциях Северного Казахстана за теплый период число дней с температурой $>30^{\circ}\text{C}$ не превышает 10–15 /2/.

На рисунках 4 и 5 представлен временной ход количества дней с температурой выше 25 и 35°C на станциях Северного Казахстана в период с 1970 по 2008 гг. За рассматриваемый период количество дней с температурой $\geq 25^{\circ}\text{C}$ колеблется от 28 дней на станции Петропавловск (1972 г.) до 100 дней в Павлодаре (1981 г.). Число дней с температурой воздуха $\geq 35^{\circ}\text{C}$ достигает 11 дней на станциях Павлодар и Астана и 5 дней в Петропавловске в 1998 г. Во всех рядах отмечаются положительные тренды, что свидетельствует об увеличении повторяемости высоких температур.

Для характеристики изменчивости средней месячной и максимальной температуры воздуха были рассчитаны статистические характеристики, которые представлены в таблице.

На территории Северного Казахстана среднее квадратическое отклонение (σ) средней месячной температуры летом изменяется от $1,33$ в Павлодаре до $2,07^{\circ}\text{C}$ в Костанае.

Наименьшее среднее квадратическое отклонение максимальной температуры воздуха также отмечается в Павлодаре и составляет 1,38, а наибольшее – 2,35°C отмечается в Петропавловске.

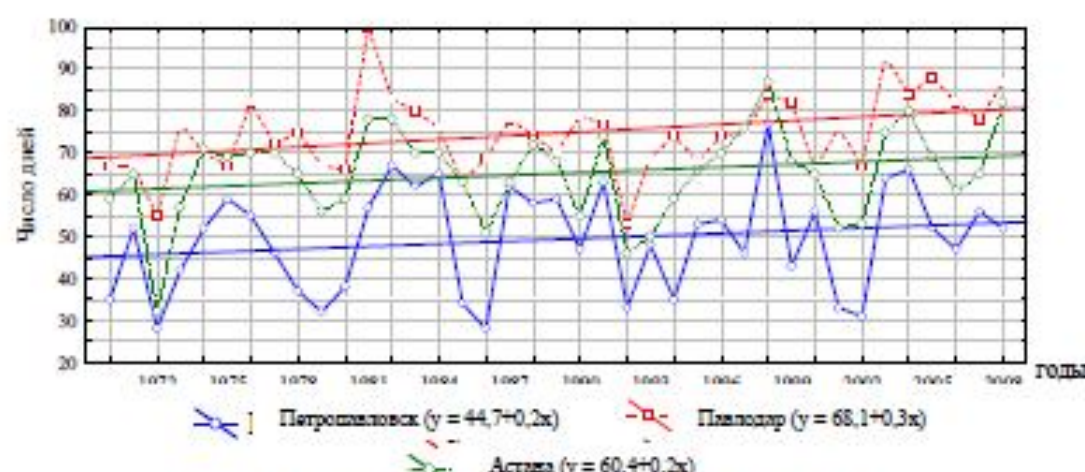


Рисунок 4. Временной ход числа дней с температурой выше 25°C

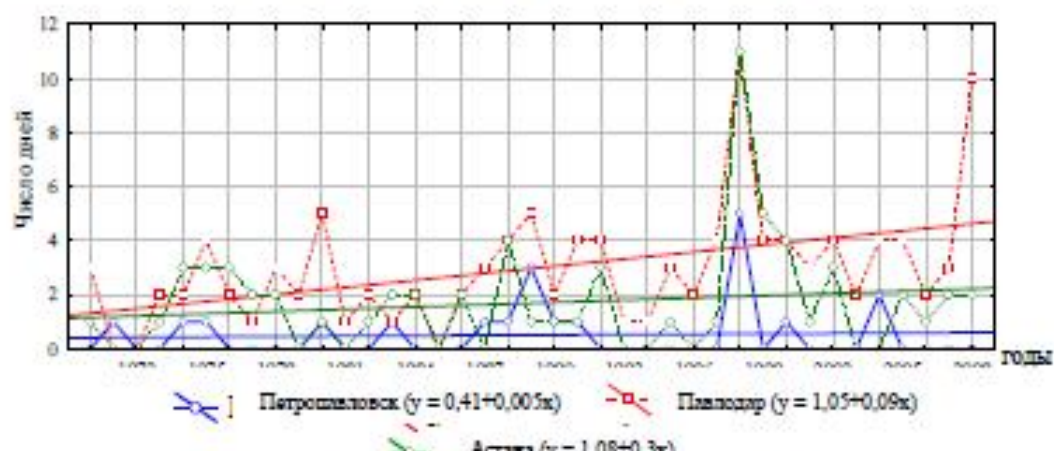


Рисунок 5. Временной ход числа дней с температурой выше 35°C

На большинстве станций минимальные значения среднего квадратического отклонения приходятся на июль и август, а максимальные отмечаются в июне. Малая изменчивость средней месячной температуры в июле связана с устойчивостью циркуляционных процессов летом.

Положительная асимметрия Ax (от 0,03 до 0,84) отмечается практически на всех рассматриваемых станциях, за исключением Жетыкары, Костаная и Петропавловска в июне, а на станциях Астана, Атбасар, Жетыкара, Костанай и Павлодар в июле. Отрицательный коэффициент эксцесса Ex (от -0,01 до -0,98) наблюдается на преобладающем числе станций Северного Казахстана, кроме Астаны и Кокшетау в июне; Петропавловска в июле; Кокшетау и Костанае в августе.

Можно отметить, что для всего Северного Казахстана наблюдается широтность как в распределении числа дней с жаркой погодой, так и в распределении самих величин высоких температур воздуха. Самые высокие средние месячные температуры и средние максимальные температуры воздуха в июне чаще всего отмечались в Павлодаре, Астане и Жетыкаре; в июле – в Павлодаре, Костанае и Жетыкаре; в августе – в Павлодаре, Костанае, Атбасаре и Жетыкаре. Таким образом, самыми жаркими городами на севере Казахстана являются Павлодар, Жетыкара и Костанай в период с 1970 по 2008 гг.

Таблица

Статистические характеристики средней месячной и средней максимальной температуры воздуха

Станции	Характеристика	Июнь		Июль		Август	
		$T_{\text{ср}}$	$T_{\text{макс}}$	$T_{\text{ср}}$	$T_{\text{макс}}$	$T_{\text{ср}}$	$T_{\text{макс}}$
Астана	\bar{T}	19,3	25,8	20,7	26,8	18,2	24,1
	σ	1,77	1,79	1,55	1,60	1,68	1,71
	Aх	0,03	0,28	-0,04	-0,32	0,31	0,18
	Eх	0,00	0,02	-0,05	0,24	-0,10	-0,54
Атбасар	\bar{T}	17,9	25,4	20,0	26,9	17,5	24,7
	σ	1,82	1,97	1,56	1,80	1,69	1,95
	Aх	0,13	0,17	0,19	-0,15	0,53	0,60
	Eх	-0,21	-0,43	-0,01	0,26	-0,11	0,19
Жетыжара	\bar{T}	19,0	26,1	20,5	27,0	18,2	24,63
	σ	1,82	2,15	1,80	2,27	1,74	1,86
	Aх	-0,10	-0,30	0,41	-0,06	0,55	0,15
	Eх	-0,70	-0,77	-0,03	-0,20	-0,83	0,11
Кокшетау	\bar{T}	17,6	24,6	19,6	25,8	17,0	23,2
	σ	1,71	2,09	1,56	2,00	1,61	2,13
	Aх	0,09	-0,34	0,29	0,30	0,56	0,51
	Eх	0,12	0,05	-0,31	-0,02	0,65	0,07
Костанай	\bar{T}	18,3	25,3	20,2	26,7	17,8	24,8
	σ	2,07	2,33	1,89	2,35	1,76	1,93
	Aх	-0,08	-0,29	0,46	-0,08	0,84	0,94
	Eх	-0,36	-0,40	-0,14	-0,51	0,53	1,96
Павлодар	\bar{T}	19,8	26,2	21,5	27,7	18,6	24,7
	σ	1,70	1,93	1,33	1,38	1,36	1,52
	Aх	0,08	0,07	-0,01	-0,36	0,26	0,07
	Eх	-0,87	-0,98	-0,34	-0,32	0,01	-0,66
Петропавловск	\bar{T}	17,0	23,7	19,0	24,9	16,3	22,4
	σ	1,98	2,35	1,85	2,04	1,73	1,87
	Aх	-0,27	-0,33	0,24	0,39	0,82	0,37
	Eх	-0,67	-0,80	0,54	0,42	1,09	-0,08

Примечание: \bar{T} – среднее многолетнее значение средней месячной температуры воздуха /4/.

Летом жаркая погода устанавливается обычно при антициклоническом режиме погоды, характеризующемся поступлением континентальных воздушных масс умеренных широт, а также в условиях летней среднеазиатской термической депрессии. В формировании жаркой погоды большую роль в Казахстане играют процессы трансформации воздушных масс, протекающие при большом притоке солнечного тепла. В условиях антициклонической погоды и летней термической депрессии за счет интенсивной трансформации значительное повышение температуры воздуха происходит на большей части территории республики. В переходные сезоны возникновение высоких температур в основном определяется выносом теплых воздушных масс с юга /1, 2/.

Полученные данные могут быть применены в оперативной практике для краткосрочного и долгосрочного прогнозирования, для выявления различных климатических характеристик и т.д.

- Платонова А.Ф., Тулкина Л.П. Распределение высоких температур воздуха по территории Казахстана // Труды КазНИГМИ. – 1978. – Вып. 72. – С. 3–20.
- Салтыков В.Г., Турлукова Г.К., Полякова С.Е. Изменчивость экстремальных температур воздуха на территории Казахстана // Материалы международной научно-практической конференции «Современные

- тенденции и закономерности в развитии географической науки в Республике Казахстан» 28 апреля 2010 г.
— Алматы: Казак университеті, 2010. — С. 106–112.
3. Метисперилов Э.И., Кольчикаев Л.Г., Васильев П.П. К вопросу об особенностях распределения многолетних значений минимальных и максимальных температур воздуха // Труды ГМНИЦ СССР. — 1983. — Вып. 252. — С. 16–23.
 4. Научно-практический справочник по климату СССР. Многолетние данные КазССР. — Л.: Гидрометеоиздат, 1989. — Вып. 18. — Книга 1. — 457 с.

S.E. Polyakova, L.V. Kogutchenko

Қазақстанның солтүстік белгіліде ауа жоғарғы температуралырының таралу ерекшеліктері

Казақстанның солтүстік белгіліде жағындағы ауа жоғарғы температуралырының көзінік-жасырытын және ортапен салынған. Ортапен максимальды және ортапен ешкін жағындағы температуралырының көзінік статистикалық сипаттастырылған.

S.E. Polyakova, L.V. Kogutchenko

Features of distribution of high temperatures of air in northern part of Kazakhstan

The existential analysis of high temperatures of air in northern part of Kazakhstan in summer is carried out. Some statistical characteristics of average monthly and average maximum air temperatures are revealed.

Статья рекомендована к печати
д.с.н., проф. В.Г. Сальниковым
(кафедра метеорологии)

УДК 551.507.362.2

Z.P. Toklaev

ИССЛЕДОВАНИЕ ХАРАКТЕРИСТИК ОБЛАЧНОСТИ В РАЙОНЕ ПАВЛОДАРА В ВЕСЕННИЙ ПЕРИОД

Казахский научно-исследовательский институт экологии и климата, г. Алматы

Показаны результаты исследования облачности по спутниковым изображениям в весенний период в районе Павлодара (2003–2005 гг.)

Проблема изучения облачности является крайне актуальной, так как именно с ней связаны выпадение осадков и некоторые опасные гидрометеорологические явления. Фотоснимки облачности, получаемые со спутников, выгодно отличаются от наземных наблюдений тем, что дают целостную картину распределения облаков над обширными территориями, сопоставимыми с основными синоптическими объектами. Это позволяет по характеру рисунка изображения на снимках изучать неоднородности облачного покрова различного масштаба, многие из которых для дискретных наземных наблюдений являются практически неуловимыми. При изучении снимков возникает необходимость идентифицировать и классифицировать облачные образования согласно классификации облаков, принятой при наземных наблюдениях. Эта проблема и затронута в настоящей статье.

Изучению различных характеристик облачности в прошлом было посвящено множество работ. Укажем некоторые из них. В статье [1] описывается методика анализа

